

MEMO

VI. Conducteurs $\rightarrow R, C, L$ 1) Matériaux conducteurs

* Déf : les charges (+ ou -) peuvent être mobiles.

ex : métaux, liquides, ... $\begin{matrix} \vec{j} \neq 0 \\ \rho \neq 0 \end{matrix}$

contre-ex : isolants (bois, vide, plastiques, ...) $\rho \neq 0$ mais $\vec{j} = 0$ tous les cas

• métaux, $\rho \sim 10^{30} \text{ e}^-/\text{m}^3$, $v_e \sim 99$ milliers km/h

* mobilité d'un matériaux : $\vec{E} \rightarrow$ mouvement des q
 $(\vec{j}) \Rightarrow \vec{v} = \mu \vec{E} \rightarrow \vec{j}$

2) Loi d'ohm

* pour n charges q de vitesse \vec{v} : $\vec{j} = nq\vec{v}$

* \vec{v} est liée \vec{E} : $\vec{v} = \mu \vec{E}$

* $\vec{j} = (nq\mu) \vec{E} \rightarrow \gamma = nq\mu$: conductivité du matériaux.
 (parfois noté σ)

* $\Delta V = V_2 - V_1 = \int_1^2 -\vec{E} \cdot d\vec{\ell}$ ($\vec{E} = -\text{grad } V$)

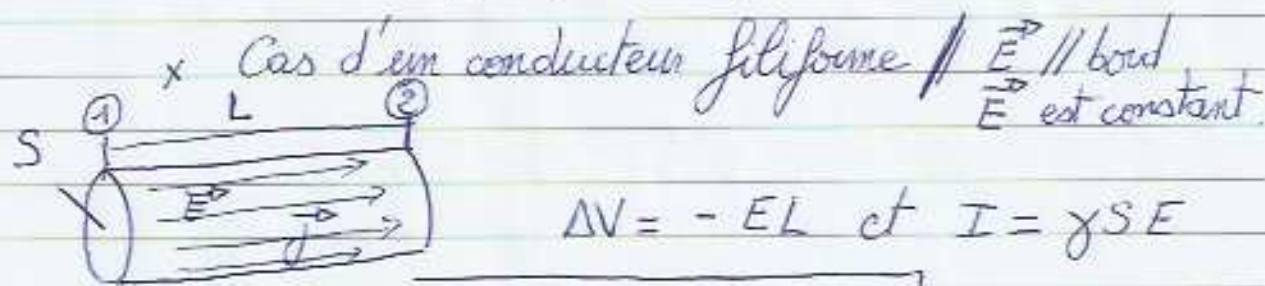


MEMO

Suite VI.2)

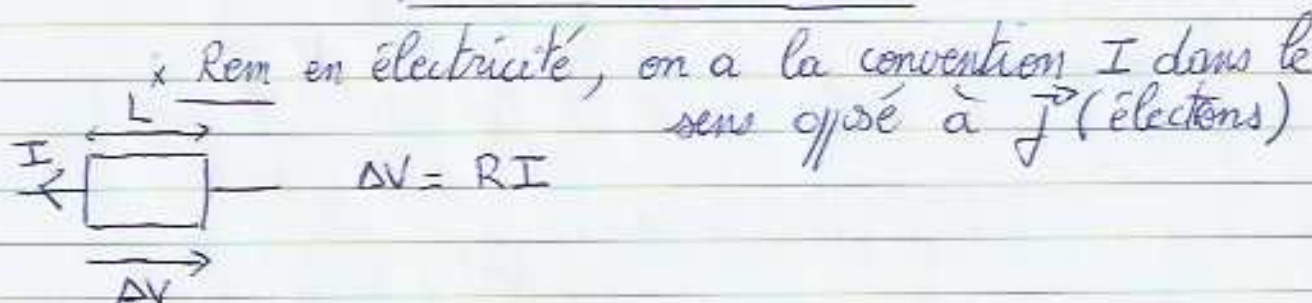
$$\times I = \iint_S \vec{j} \cdot d\vec{S} = \gamma \iint_S \vec{E} \cdot d\vec{S}$$

$$\times \frac{\Delta V}{I} = \left(\gamma \frac{\iint_S \vec{E} \cdot d\vec{S}}{\int -\vec{E} \cdot d\vec{l}} \right)^{-1} \text{ relation générale}$$



$$\Delta V = -EL \text{ et } I = \gamma S E$$

$$\boxed{\frac{\Delta V}{I} = -\frac{L}{\gamma S} = -R} \text{ résistance } (\Omega)$$



$$\times \gamma = \frac{L}{RS} \quad [\gamma] = \Omega^{-1} \cdot m^{-1} = S \cdot m^{-1}$$

\times Energie dissipée dans conducteur par effet Joule

$$U_E = \Delta V I = \gamma S L E^2 \Leftrightarrow U_E = \frac{\epsilon_0}{2} \underbrace{\iiint \vec{E}^2 d\tau}_{S \times L \times E^2}$$

(vide)

attention : dans le conducteur

$$\gamma \neq \frac{\epsilon_0}{2}$$



MEMO

3) Propriétés de base du champ et du potentiel dans un conducteur

x Propriétés établies à l'équilibre électrostatique

\Leftrightarrow les charges sont immobiles (macroscopique)

$\Leftrightarrow \boxed{\vec{E}_{int} = \vec{0} \text{ à l'intérieur du conducteur}}$

x Or $\vec{E}_{int} = -\text{grad } V_{int} = \vec{0}$ donc $\boxed{V_{int} = \text{constant}}$

x { forme locale $\text{div } \vec{E}_{int} = \frac{\rho_{int}}{\epsilon_0}$
forme intégrale $\iint_{S_{int}} \vec{E}_{int} \cdot d\vec{S} = \frac{Q_{int}}{\epsilon_0} \Rightarrow \boxed{\rho_{int} = 0}$

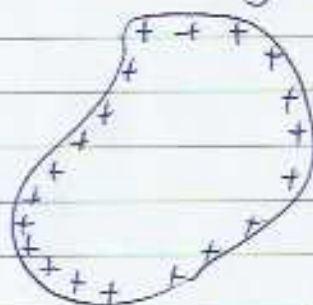
x $\rho_{interne} = 0$ n'implique pas que $\sigma_{surface} = 0$

\Rightarrow pour un conducteur à l'équilibre, on peut avoir des charges en surfaces.

Cas neutre $Q=0$



Cas chargé ex $Q > 0$



$\sigma > 0$
 $\neq 0$

Rem "en surface" = sur une profondeur \sim longueur de Debye λ_D

$\lambda_D(\text{métal}) \sim 1 \text{ \AA} = 10^{-10} \text{ m}$



MEMO

Suite VI.3)

* Pour un cond. équilibre chargé

• le potentiel est constant V , à la surface comme à l'int

• le champ $\vec{E} \perp$ équipotentiels et la surface est une

$\Rightarrow \vec{E} \perp$ surface du cond.

\vec{n} : normal/surface

Th. Gauss avec un cylindre
hauteur $2h$, surface S



$$\oiint \vec{E} \cdot d\vec{S} = \underbrace{0}_{\text{à l'int. } \vec{E}_{\text{int}} = 0} + \underbrace{0}_{\text{aux bords car } \vec{E} \nparallel \vec{n}} + E(h)S$$

$$\boxed{\vec{E} = \frac{\sigma}{\epsilon_0} \vec{n}}$$

$$\iiint_{V_g} \frac{\rho}{\epsilon_0} d\tau = \iint_{\text{surf}} \frac{\sigma}{\epsilon_0} dS = \frac{\sigma}{\epsilon_0} S$$

Rem sur l'orientation: $\begin{cases} \sigma > 0 \Rightarrow \vec{E} \text{ vers l'extérieur} \\ \sigma < 0 \Rightarrow \vec{E} \text{ vers l'intérieur} \end{cases}$



$\Rightarrow \exists$ une discontinuité du champ entre int/ext.

* Effet de pointe: $\sigma = \frac{Q}{\text{surf}}$ si surface est petite \Rightarrow pointe métallique

\vec{E} est très élevé pour une pointe chargée.



MEMO

Suite VI.3)

* Capacité d'un conducteur.

$$Q = \iint_{S_{\text{cond}}} \sigma dS \quad \text{et} \quad V(\vec{r}_M) = \iint_{S_{\text{cond}}} \frac{\sigma(\vec{r}_P) dS_P}{4\pi\epsilon_0 \|\vec{r}_M - \vec{r}_P\|}$$

$$\bullet \text{ si } \sigma \rightarrow \alpha \sigma \text{ alors } Q \rightarrow \alpha Q \\ V \rightarrow \alpha V$$

$$\Rightarrow V \text{ et } Q \text{ sont proportionnelles } \boxed{\frac{Q}{V} = C}$$

$C = \text{capacité du conducteur}$
($C \cdot V^{-1}$)

* exemple d'une sphère (centre O , rayon R) chargée $\sigma = \text{cte}$

$$Q = \sigma 4\pi R^2 \quad V(O) = \iint \frac{\sigma}{4\pi\epsilon_0 R} dS = \frac{\sigma}{4\pi\epsilon_0 R} 4\pi R^2$$

(constant)

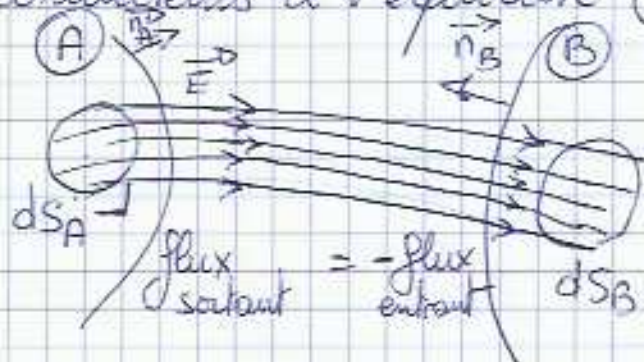
$$\Rightarrow \frac{Q}{V} = C_{\text{sphère}} = \frac{4\pi\epsilon_0 R}{1} = \epsilon_0 \frac{S}{R}$$

V1.4) Conducteurs en influence

Emag L254 50/6

i) Théorème des éléments correspondants

* 2 conducteurs à l'équilibre ($\vec{E} \perp \text{surf}$)



dS_B correspond
à dS_A

• Th. Gauss sur la surface = tube (dS_A , enveloppe, dS_B)

$$\cdot \phi_A + \phi_B = 0 = \frac{Q_A + Q_B}{\epsilon_0}$$

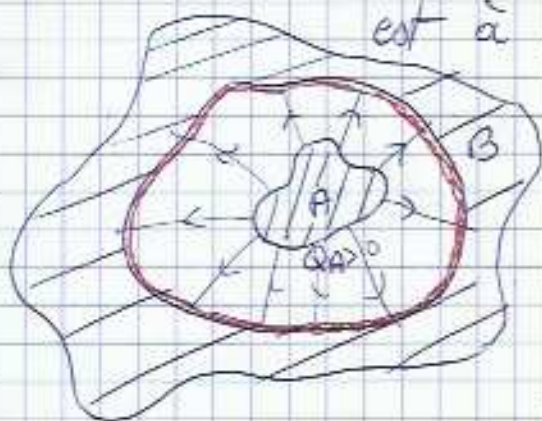
flux \rightarrow

$$\cdot Q_A = \sigma_A dS_A = -Q_B = -\sigma_B dS_B$$

• Pour les éléments correspondants : $Q_A = -Q_B$

* Conducteurs en influence totale

• Situation géométrique où 1 conducteur est à l'intérieur d'une cavité dans l'autre cond.



• A est en influence totale avec B

• si Q_A est la charge surf. de A

alors (Th. elem. corresp) $Q_{Bint} = -Q_A$

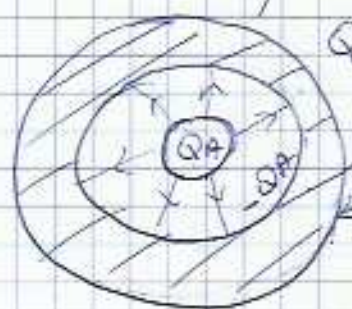
charge à la surf. interne de B

• Rem avec Th. Gauss sur surface à l'int. du cond B

$$\vec{E}_{int}(B) = \vec{0} \Rightarrow \oint_{S_{int} B} \vec{E} \cdot d\vec{S} = 0 = Q_A + Q_{Bint}$$

- Rem sur le blindage électromagnétique

→ pour les cond. A et B en influence totale



Q_A est indépendant de Q_{Bext}

← Q_{Bext} influence $Q_{Btot} = Q_{Bext} + Q_{Bint}$

→ de même le champ dans la cavité n'est pas influencé par Q_{Bext}

→ principe de la cage de Faraday.

ii) Systèmes de conducteurs

- * Ensemble de N conducteurs à l'équilibre : $i = 1 \dots N$ sous influences mutuelles

→ ex si $Q_i \neq 0 \Rightarrow$ modification de $Q_{i \neq 1}$

- * Par le Th. de Superposition :

Q_i (finale) = superposition de toutes les charges

généralisées par $Q_j \neq 0$ ($j \neq i$)

$Q_k = 0$ ($k \neq i, k \neq j$)

- * Relation entre Q et le potentiel : $Q = CV$

$$Q_i = C_{i1} V_1 + C_{i2} V_2 + \dots + C_{iN} V_N = \sum_{j=1}^N C_{ij} V_j$$

où C_{ij} = capacité mutuelle des conduct i et j

Rem $C_{ij} = C_{ji}$

Suite VI.4)

Emag L254 S2/8

x relation matricielle : N-vecteur $[Q] = \begin{pmatrix} Q_1 \\ \vdots \\ Q_N \end{pmatrix}$
N-vecteur $[V] = \begin{pmatrix} V_1 \\ \vdots \\ V_N \end{pmatrix}$

NxN - matrice symétrique $[C]$

$$\Rightarrow [Q] = [C][V]$$

VI.5) Condensateurs

x Condensateur = système de 2 conducteurs en influence totale

x Capacité mutuelle ?

$$\begin{cases} Q_1 = C_{11} V_1 + C_{12} V_2 \\ Q_2 = C_{21} V_1 + C_{22} V_2 \end{cases}$$

Rem $C_{12} = C_{21}$

x influence totale $Q_1 = -Q_2$ quelque soit V_1 et V_2

$$\Rightarrow C_{11} = -C_{21} = -C_{12}$$

$$\text{d'où } Q_1 = C_{11} \underbrace{(V_1 - V_2)}_{\Delta V} = Q$$

alors $\boxed{\frac{Q}{\Delta V} = C_{11}}$ capacité du système condensateur

x Unité $[C] = F = C \cdot V^{-1}$ (grosse unité...)

x Calcul de C ?

\rightarrow Th. de Gauss : $Q \leftrightarrow E$

$\rightarrow \vec{E} = -\vec{\text{grad}} V$ ou $\Delta V = -\int \vec{E} \cdot d\vec{l} : \Delta V \leftrightarrow E \left\} \frac{Q}{\Delta V}$

• ex Condensateur sphérique

+ Th. Gauss / sphère de rayon $R < r < R'$ • sym sphérique $\vec{E} = E(r) \vec{u}_r$

$$\phi = \oint_{\text{Gauss}} \vec{E}(r) \cdot d\vec{S} = E(r) 4\pi r^2$$

$$Q_{\text{Gauss}} = Q$$

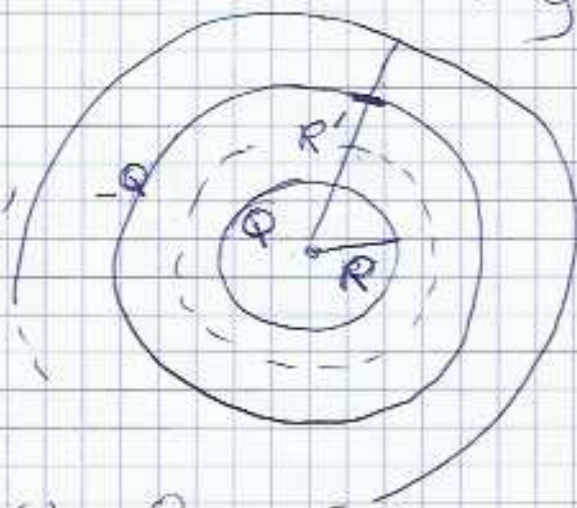
$$E(r) = \frac{Q}{4\pi\epsilon_0 r^2}$$

$$V(R') - V(R) = - \int_R^{R'} \vec{E}(r) \cdot d\vec{\ell} \quad \text{le long du rayon}$$

$d\vec{\ell} = dr \vec{u}_r$

$$\Delta V = - \frac{Q}{4\pi\epsilon_0} \int_R^{R'} \frac{dr}{r^2} = \frac{Q}{4\pi\epsilon_0} \left[\frac{1}{r} \right]_R^{R'} = \frac{Q}{4\pi\epsilon_0} \left(\frac{1}{R'} - \frac{1}{R} \right)$$

$$\Rightarrow \frac{Q}{\Delta V} = 4\pi\epsilon_0 \frac{RR'}{R' - R} = C_{\text{sphère}}$$



ex Condensateur sphérique+ Th. Gauss / sphère de rayon $R < r < R'$ • sym. sphérique $\vec{E} = E(r) \vec{u}_r$

$$\oint_{\text{Gauss}} \vec{E}(r) \cdot d\vec{S} = E(r) 4\pi r^2$$

$$Q_{\text{Gauss}} = Q$$

$$E(r) = \frac{Q}{4\pi\epsilon_0 r^2}$$

$$V(R') - V(R) = - \int_R^{R'} \vec{E}(r) \cdot d\vec{\ell} \quad \text{le long du rayon}$$

$d\vec{\ell} = dr \vec{u}_r$

$$\Delta V = - \frac{Q}{4\pi\epsilon_0} \int_R^{R'} \frac{dr}{r^2} = \frac{Q}{4\pi\epsilon_0} \left[\frac{1}{r} \right]_R^{R'} = \frac{Q}{4\pi\epsilon_0} \left(\frac{1}{R'} - \frac{1}{R} \right)$$

$$\Rightarrow \frac{Q}{\Delta V} = 4\pi\epsilon_0 \frac{RR'}{R' - R} = C_{\text{sphère}}$$

A.N. $R = 1 \text{ cm}, R' = 1,1 \text{ cm} \Rightarrow C = 10^{-11} \text{ F}$

ex Condensateur plan

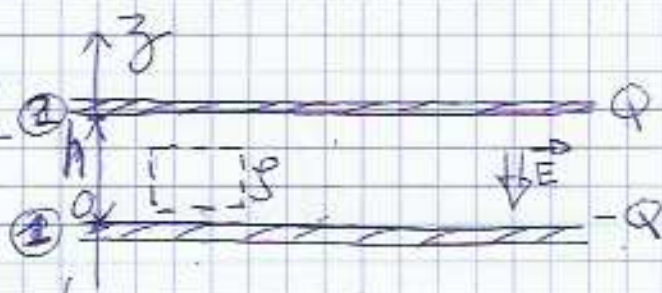
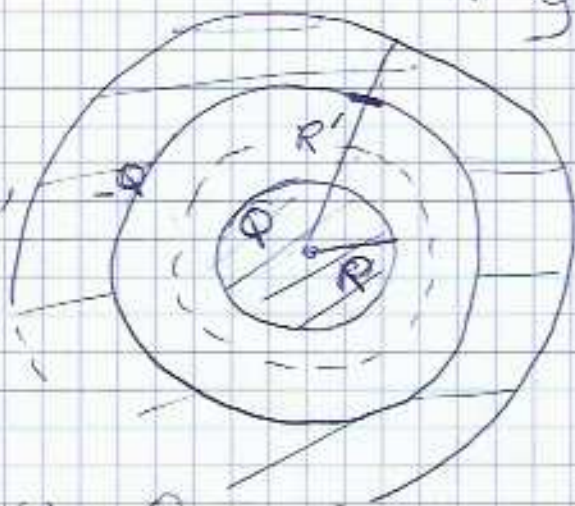
× longueur des plaques \gg épaisseur (h)

↳ ignore les effets de bord

× Th Gauss sur surface fermée à l'intérieur des 2 plaques $\Rightarrow Q_{\text{int}} = 0 = \oint \vec{E} \cdot d\vec{S}$

• par symétrie : $\vec{E} = E(z) \vec{u}_z$

$$E(z_{\text{sup}}) S_{\text{sup}} + E(z_{\text{inf}}) (-S_{\text{inf}}) = 0 \Rightarrow E(z_{\text{sup}}) = E(z_{\text{inf}})$$



x formulation locale : $\text{div } \vec{E} = \frac{\rho}{\epsilon_0}$

entre les plaques : $\rho = 0$

symétrie $\text{div } \vec{E} = \frac{\partial E}{\partial z}(z) \left. \vphantom{\frac{\partial E}{\partial z}(z)} \right\} \frac{\partial E}{\partial z}(z) = 0$

$\Rightarrow E$ ne dépend pas de z , $E = \text{cte}$ entre les cond.

x Les plaques sont des conduct. à l'équilibre

\Leftrightarrow à leur surface : $\vec{E}(z_i) = \frac{\sigma_i}{\epsilon_0} \vec{n}_i$

où $\vec{n}_1 = \vec{u}_z$ et $\vec{n}_2 = -\vec{u}_z$

où pour une surface de conducteur $S = S_1 = S_2$

- $Q = \sigma_1 \times S$ et $Q = \sigma_2 \times S \Rightarrow \sigma_1 = -\sigma_2 = -\sigma$

x A l'intérieur des plaques

$$\vec{E} = -\frac{\sigma}{\epsilon_0} \vec{u}_z \quad \text{et} \quad V_2(z_2=h) - V_1(z_1=0) = -\int_{z_1}^{z_2} \vec{E} \cdot d\vec{\ell}$$

$d\vec{\ell} = dz \vec{u}_z$

$$\text{soit } \Delta V = V_2 - V_1 = -\left(-\frac{\sigma}{\epsilon_0}\right) \int_0^h dz = \frac{\sigma h}{\epsilon_0}$$

x Capacité $\frac{Q}{\Delta V} = \frac{\sigma S \epsilon_0}{\sigma h}$

$$\Rightarrow \boxed{C = \frac{S \epsilon_0}{h}}$$

x Condensateurs où le milieu inter-conducteur n'est pas le vide matériau diélectrique

• vide: $C \propto \epsilon_0$ capa. proportionnelle à ϵ_0

• hors du vide $\epsilon_0 \rightarrow \epsilon_r \epsilon_0 = \epsilon$

où ϵ_r est la permittivité relative $\gg 1$
caractérise l'isolation

• ex air $\epsilon_r = 1,006$

oxyde de Baryum $\text{BaTiO}_3 \cdot \epsilon_r = 1000$

x Association des condensateurs (n capa $C_i, i=1..n$)

• en parallèle



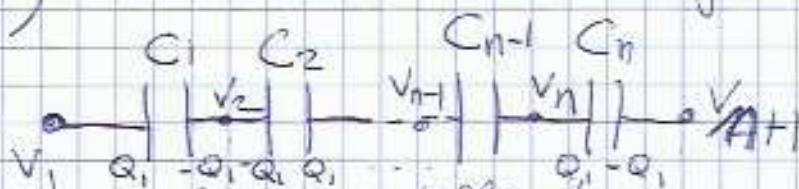
chaque condensateur voit la même différence $V_2 - V_1 = \Delta V$

$$Q_i = C_i \Delta V$$

$$Q_{\text{tot}} = \sum_i Q_i = \left(\sum_i C_i \right) \Delta V = C_{\text{Tot}} \Delta V$$

$$\text{d'où } C_{\text{Tot}} = \sum_i C_i \text{ en parallèle.}$$

• en série



→ chaque cap a un ΔV différent

→ tous les cond portent la même charge Q

$$Q = Q_i = C_i \Delta V_i$$

$$Q = C_1 (V_2 - V_1)$$

$$\frac{Q}{C_1} = V_2 - V_1$$

$$Q = C_2 (V_3 - V_2)$$

$$\rightarrow \frac{Q}{C_2} = V_3 - V_2$$

$$Q = C_{n-1} (V_n - V_{n-1})$$

$$Q = C_n (V_{n+1} - V_n)$$

$$\frac{Q}{C_n} = V_{n+1} - V_n$$

~~Somme~~ ~~max~~

$$\text{Somme } Q \left(\sum_i \frac{1}{C_i} \right) = \underbrace{V_{n+1} - V_1}_{\Delta V}$$

$$\text{d'où } C_{\text{Tot}} = \left(\sum_{i=1}^n \frac{1}{C_i} \right)^{-1} \text{ en série}$$

× Energie emmagasinée dans un condensateur

• pour un ensemble de conducteurs ($i = 1 \dots n$)

$$U_E = \frac{1}{2} \sum_{i=1}^n Q_i V_i$$

• pour un condensateur $n=2$ et $\begin{cases} Q_1 = -Q_2 = Q \\ -\Delta V = V_2 - V_1 = \frac{Q}{C} \end{cases}$

$$U_E = \frac{1}{2} (Q_1 V_1 + Q_2 V_2) = \frac{1}{2} Q (V_1 - V_2) = \frac{1}{2} \frac{Q^2}{C}$$

$$\boxed{U_E = \frac{1}{2} \frac{Q^2}{C}} > 0$$

VI.6) Inductance

i) Définition de l'auto-inductance

- × Pour circuits filiformes parcourus par courant I
 \rightarrow création d'un champ magnétique \vec{B}_p propre



- × Pour une surface qui s'appuie sur C : S_C
 \rightarrow flux propre de \vec{B}_p à travers S_C : Φ_p

$$\Phi_p = \iint_{S_C} \vec{B}_p \cdot d\vec{S} \quad \text{indépendant de } S$$

- × Définition de l'auto-inductance L

$$L \equiv \frac{\Phi_p}{I} \quad \text{unité Henry (H)}$$

$$[L] = [B] m^2 [I]^{-1}$$

$$[L] = H = [\mu_0] A m^{-1} m^2 A^{-1}$$

$$H = [\mu_0] \cdot m$$

$$L > 0$$

car signes de $\frac{\Phi_p}{I}$ liés

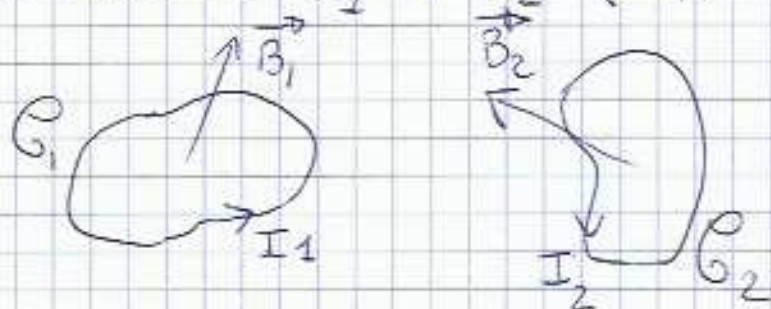
- × Exemple du solénoïde de N spire (rayon R) longueur l
 parcouru par I $n = \frac{N}{l}$

• à l'intérieur du solénoïde : $B_p = \mu_0 \frac{N}{l} I$ constant (voir p25)

• flux : $\Phi_{tot} = N \Phi_{spire} = N \mu_0 \frac{N}{l} I \pi R^2$

$$\Rightarrow L = \frac{\Phi_{tot}}{I} = \mu_0 \frac{N^2}{l} \pi R^2 = \mu_0 \pi (nR)^2 l$$

ii) Inductance mutuelle de plusieurs circuits
 x 2 circuits C_1 et C_2 (I_1, I_2)



x Flux dans C_1 : $\vec{B}_1 / C_1 \rightarrow \phi_{11} \propto I_1$
 $\vec{B}_2 / C_1 \rightarrow \phi_{12} \propto I_2$
 \rightarrow idem C_2

x 4 coefficients de proportionnalité $\begin{cases} \phi_{11} = L_{11} I_1 \\ \phi_{12} = M_{12} I_2 \end{cases}$

$$\begin{pmatrix} \phi_1 \\ \phi_2 \end{pmatrix} = \begin{bmatrix} L_{11} & M_{12} \\ M_{21} & L_{22} \end{bmatrix} \begin{pmatrix} I_1 \\ I_2 \end{pmatrix} \quad \begin{matrix} \phi_{11} + \phi_{12} = \phi_1 \end{matrix}$$

Définition de l'inductance mutuelle : $M_{12} = M_{21} = M$
 \triangle la mutuelle M peut être > 0 ou < 0 !

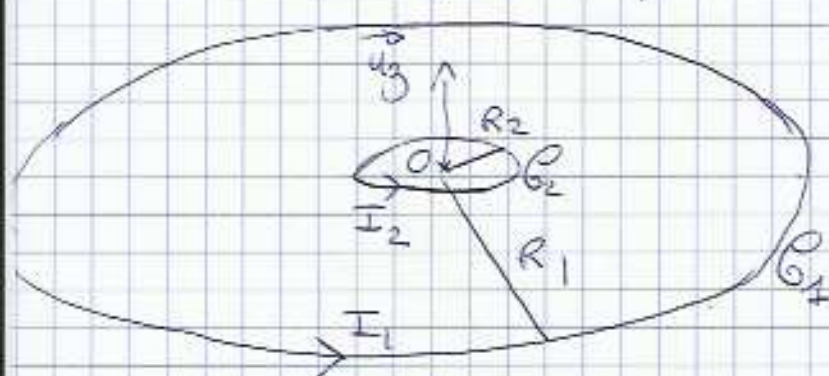
$$x \quad \phi_{12} = M I_2 = M \frac{\phi_{22}}{L_{22}} \Rightarrow \frac{\phi_{12}}{\phi_{22}} = \frac{M}{L_{22}} = k_1$$

$$\text{de même } \frac{\phi_{21}}{\phi_{11}} = \frac{M}{L_{11}} = k_2$$

soit $M^2 = k_1 k_2 L_{11} L_{22} = K L_1 L_2$ $\begin{cases} L_{11} = L_1 \\ L_{22} = L_2 \\ k_1 k_2 = K \end{cases}$
coeff. de couplage $\in [0, 1]$ \leftarrow
 dépend uniquement géométrie

x ex de calcul de l'Inductance Γ

2 spires coplanaires avec $R_2 \ll R_1$



\vec{B}_1 voir p 22 vers

$$\vec{B}_1(0) = \frac{\mu_0 I_1}{2 R_1} \vec{u}_3$$

$$d\vec{S}_2 = dS_2 \vec{u}_3$$

• Considérant que $R_2 \ll R_1$, $\vec{B}_1 \sim \text{constant} = \vec{B}_1(0)$

sur la spire 2

$$\text{d'où } \phi_{21} = \iint_S \vec{B}_1 \cdot d\vec{S}_2 = \frac{\mu_0 I_1}{2 R_1} \pi R_2^2$$

$$\phi_{21} = \Gamma I_1 \quad \text{d'où } \Gamma = \frac{\mu_0 \pi R_2^2}{2 R_1}$$

• Cas de 2 solénoïdes de dimension R_2, R_1 , joints

"joints" \Leftrightarrow

x flux total dans solénoïde 2 = $N_2 \times N_1 \times \phi_{21}$
généralisé par solénoïde 1

$$\Rightarrow \Gamma = N_1 N_2 \frac{\mu_0 \pi R_2^2}{2 R_1}$$

X Cas général du calcul de Γ entre 2 circuits

$$\bullet \phi_{12} = \iint_{\mathcal{S}_2} \vec{B}_1 \cdot d\vec{S}_2 = \iint_{\mathcal{S}_2} \text{rot} \vec{A}_1 \cdot d\vec{S}_2$$

$$\phi_{12} = \oint_{\mathcal{C}_2} \vec{A}_1(P_2) \cdot d\vec{\ell}_2(P_2)$$

$$\bullet \vec{A}_1(P) = \oint_{\mathcal{C}_1} \frac{\mu_0 I_1}{4\pi} \frac{d\vec{\ell}_1(P_1)}{\|\vec{P}_1 P\|} \quad (\text{voir p 28})$$

$$\bullet \phi_{12} = \frac{\mu_0 I_1}{4\pi} \oint_{\mathcal{C}_2} \oint_{\mathcal{C}_1} \frac{d\vec{\ell}_1(P_1) \cdot d\vec{\ell}_2(P_2)}{\|\vec{P}_1 P_2\|}$$

\Rightarrow formule de Neumann

$$\bullet \Gamma_{21} = \frac{\phi_{12}}{I_1} \quad \text{expression où } d\vec{\ell}_1 \text{ et } d\vec{\ell}_2 \text{ sont interchangeables}$$

$$\Gamma_{12} = \Gamma_{21}$$

iii) Induction

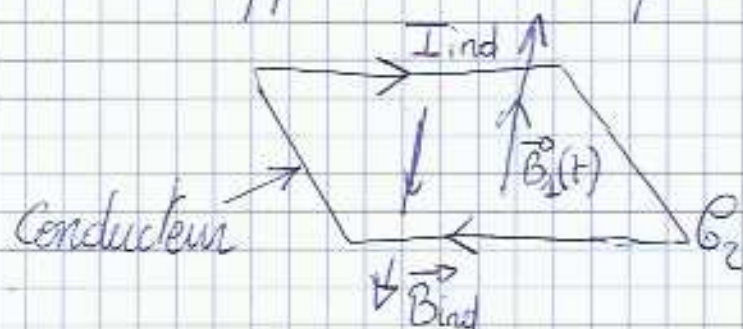
× Rappel sur phénomène de l'expérience de Faraday (p 30)

- variation temporelle de $I_1(t) \rightarrow$ force électromotrice ΔV_2
dans circuit 1 dans circuit 2

$$\Rightarrow \Delta V_2 = - \frac{d\Phi_{21}}{dt} \quad \text{Loi de Faraday}$$

↑
Loi de Lenz

- le sens du courant induit (ΔV_2)
s'oppose au champ inducteur (B_1)



× Rappel formulation locale (voir p 35)

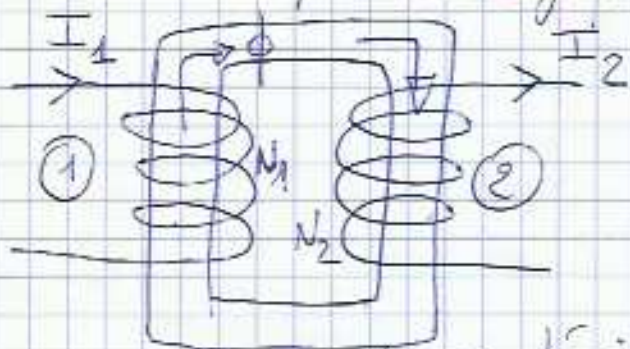
- $\vec{E} = - \text{grad } V - \frac{\partial \vec{A}}{\partial t}$ où $\left\{ \begin{array}{l} V \text{ potentiel appliqué au circuit} \\ \vec{A} \text{ potentiel induit par } \vec{B}_1 \end{array} \right.$
↑
champ vu par les charges dans le conducteur

× Conséquence sur le courant $\vec{J} = \gamma \vec{E}$
 $\vec{J} = \underbrace{-\gamma \text{grad } V}_{I_V} - \underbrace{\gamma \frac{\partial \vec{A}}{\partial t}}_{I_{ind}}$

- I_v : courant issu d'une différence de potentiel appliqué au circuit
- I_{ind} : courant induit par var. \vec{B}_1 (externe)

x Application : Transformateur

- 2 bobines (solénoïdes)
- bobine 1 inductrice : génère un flux ϕ
- bobine 2 réceptrice du flux : restitue un courant



chaque spire de ① et ② \Leftrightarrow le flux ϕ
soit le même flux ϕ

Rem il s'agit d'un transfo idéal

\rightarrow il n'y a pas de pertes de ϕ

- facteur de transformation $m = \frac{I_2}{I_1}$?

$$\left. \begin{array}{l} (1 \text{ spire}) \times \phi = \mu_0 \frac{N_1}{\ell} I_1 \pi R_1^2 \\ N_1 \text{ spires} \times \phi_{tot} = N_1 \phi = L_1 I_1 \end{array} \right\} \phi = L_1 \frac{I_1}{N_1}$$

x bobine 2 : $\phi = -L_2 \frac{I_2}{N_2}$
(1 spire)

x Avec $L_1 = L_2$ ($N_1 \neq N_2$, $\ell_1 \neq \ell_2$, $R_1 \neq R_2$)

alors: $\phi = L_1 \frac{I_1}{N_1} = -L_2 \frac{I_2}{N_2}$

$\Rightarrow \boxed{\frac{I_2}{I_1} = -\frac{N_2}{N_1}}$ \triangle signes

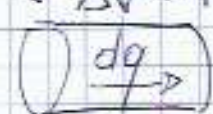
iv) Energie accumulé par une inductance L

x Circuit (avec inductance L

{ parcouru par I

{ avec différence de potentiel ΔV (f.e.m.)

x charges se déplacent dans $\Delta V \Rightarrow$ travail
sur une durée dt

$\vec{I} \rightarrow$  variation de charge $dq = I dt$

• travail élémentaire $\delta W = dq \Delta V$

• ΔV force électromotrice : $\Delta V = - \frac{d\phi}{dt}$

• $\delta W = - I \frac{d\phi}{dt} dt$

où $\frac{d\phi}{dt} dt = d\phi(t)$

} $\delta W = - I d\phi$

- On a $\phi = L I$, soit $d\phi = L dI$

- $\delta W = -L I dI$

- $\int \delta W$ (énergie accumulée) $= - \int \delta W$

$$U_B = L \int I dI = \frac{1}{2} L I^2 = U_B$$

x Exemple du solénoïde (N spires, longueur ℓ , rayon R)

- $L = \mu_0 \pi \frac{N^2}{\ell} R^2$

- où $B = \mu_0 \frac{N}{\ell} I$ ($= \frac{L}{\pi R^2} I \Rightarrow L = \frac{\pi R^2}{I} B$)

- $\Rightarrow U_B = \frac{1}{2} L I^2 = \frac{\pi R^2}{2} \underbrace{\mu_0 \frac{N^2}{\ell} I^2}_{B^2}$

$$B^2 = \mu_0^2 \frac{N^2}{\ell^2} I^2 \text{ soit } \frac{\mu_0 N}{\ell} I^2 = \frac{\ell B^2}{\mu_0 N}$$

- $U_B = \frac{1}{2 \mu_0} \underbrace{\frac{\ell \pi R^2}{N}}_{\text{volume d'une spire} \cdot N} B^2$

- Rappel du cas général : $U_B = \iiint_V \frac{B^2}{2 \mu_0} d\tau$

× Energie de 2 circuits en inductance mutuelle.

• Rappel
$$\begin{cases} \phi_1 = L_1 I_1 + \pi I_2 \\ \phi_2 = L_2 I_2 + \pi I_1 \end{cases}$$

•
$$W_{B(1+2)} = \frac{1}{2} L_1 I_1^2 + \frac{1}{2} L_2 I_2^2 + \pi I_1 I_2$$

• Condition $W_B > 0$ soit

$$f(I_2) = I_2^2 + 2 \frac{\pi I_1}{L_2} I_2 + \frac{L_1 I_1^2}{L_2} > 0$$

vérifiée s'il n'y a pas de solution $f(I_2) = 0$

$$\Rightarrow \Delta' = \left(\frac{\pi I_1}{L_2} \right)^2 - \frac{L_1 I_1^2}{L_2} < 0$$

$$\pi^2 - L_2^2 \frac{L_1}{L_2} < 0$$

$$\boxed{\pi^2 < L_1 L_2} \quad \text{avec } \pi^2 = K L_1 L_2$$

$$\Leftrightarrow K < 1$$

$$\text{ou } \pi < \sqrt{L_1 L_2}$$

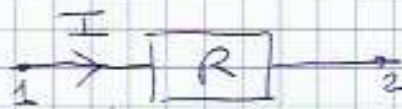
7.) Introduction à l'électrocinétique

Fmag L2S4

66

x objectif: comportement des composants R, L, C

i) Résistance R



x Loi d'ohm: $U = R I$ $\leftarrow U = -\Delta V = (V_1 - V_2)$

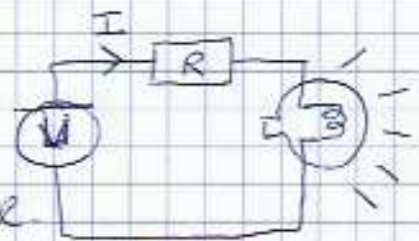
\Rightarrow conductivité des conducteurs.

x I constant \Leftrightarrow tension U constante.

x Puissance: $P = U I = R I^2$

x Circuit avec ampoule

I est \Leftrightarrow ampoule est allumée en permanence.



ii) Capacité C

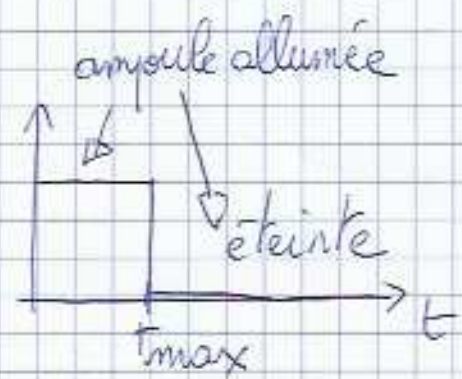
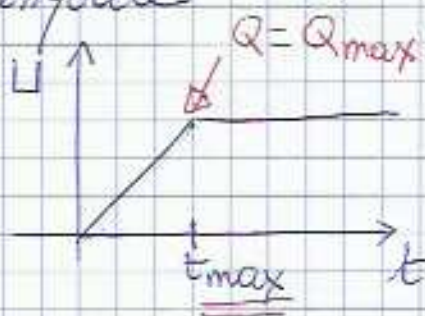
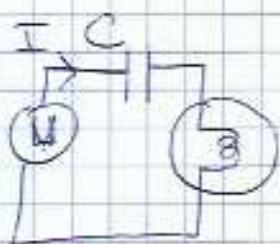


x $C = \frac{Q}{U}$

x $I = \frac{dQ}{dt} = C \frac{dU}{dt}$

x Capacité conduit un courant variable avec temps.
ou: à tension constante alors courant nul.

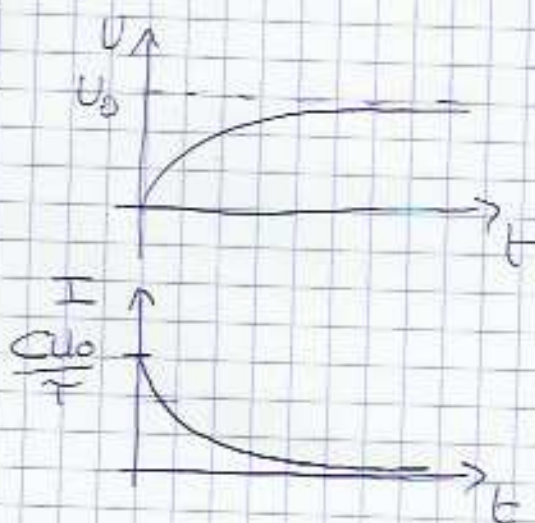
x Avec ampoule



x exemple de transition vers $U = \text{cte}$.

$$U(t) = U_0 (1 - e^{-t/\tau})$$


$$I = C \frac{dU}{dt} = + \frac{CU_0}{\tau} e^{-t/\tau}$$



x Autre exemple, I constant

$$\frac{dU}{dt} = \frac{I}{C} \Rightarrow U(t) = \frac{I}{C} t \text{ croissance "infinie" ?}$$

• saturation lorsque le condensateur atteint $\left\{ \begin{array}{l} Q \text{ maximale supportée par les conduct.} \\ \text{ou} \\ \text{tension (champ } E \text{) maximale.} \end{array} \right.$

iii) Inductance 

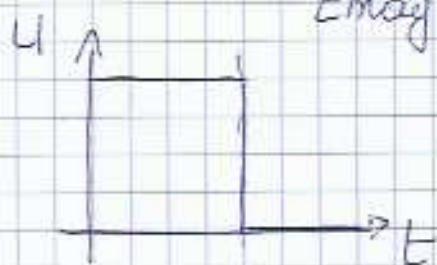
$$\phi = LI$$

$$U(= -\Delta V) = \frac{d\phi}{dt} \Rightarrow U = L \frac{dI}{dt}$$

x Inductance génère une tension constante

Série VI. 7)

Emag L254 68



seuil d'allumage



A tension constante,
la bobine sature

ampoule

~~allumée~~
éteinte

allumée

pour $\begin{cases} \phi = \phi_{\max} \\ I = I_{\max} \end{cases}$